

6
A-63

МИНИСТЕРСТВО ЭНЕРГЕТИКИ И ЭЛЕКТРОФИКАЦИИ
СССР ГЛАВНИИ ПРОЕКТ

ГРУЗИНСКИЙ НАУЧНО-ИССЛЕДОВАТЕЛЬСКИЙ ИНСТИТУТ
ЭНЕРГЕТИКИ И ГИДРОТЕХНИЧЕСКИХ СООРУЖЕНИЙ
(ГрузНИИЭГС)

На правах рукописи

Х. С. ЧИКОВАНИ

**ПОРИСТАЯ СТРУКТУРА ЦЕМЕНТНОГО КАМНЯ
И ЕЕ СВЯЗЬ С ТЕХНОЛОГИЧЕСКИМИ ФАКТОРАМИ**

(05.484. Строительные материалы, детали и изделия)

Автореферат

диссертации на соискание ученой степени
кандидата технических наук

Тбилиси
1971 год

7-4
22361

МИНИСТЕРСТВО ЭНЕРГЕТИКИ И ЭЛЕКТРОФИКАЦИИ СССР

ГЛАВНИЙ ПРОЕКТ

ГРУЗИНСКИЙ НАУЧНО-ИССЛЕДОВАТЕЛЬСКИЙ ИНСТИТУТ

ЭНЕРГЕТИКИ И ГИДРОТЕХНИЧЕСКИХ СООРУЖЕНИЙ

(ГрузНИИЭГ)

На правах рукописи

Х.С. ЧИКОВАНИ

ПОРИСТАЯ СТРУКТУРА ЦЕМЕНТНОГО КАМНЯ И ЕЕ СВЯЗЬ
С ТЕХНОЛОГИЧЕСКИМИ ФАКТОРАМИ

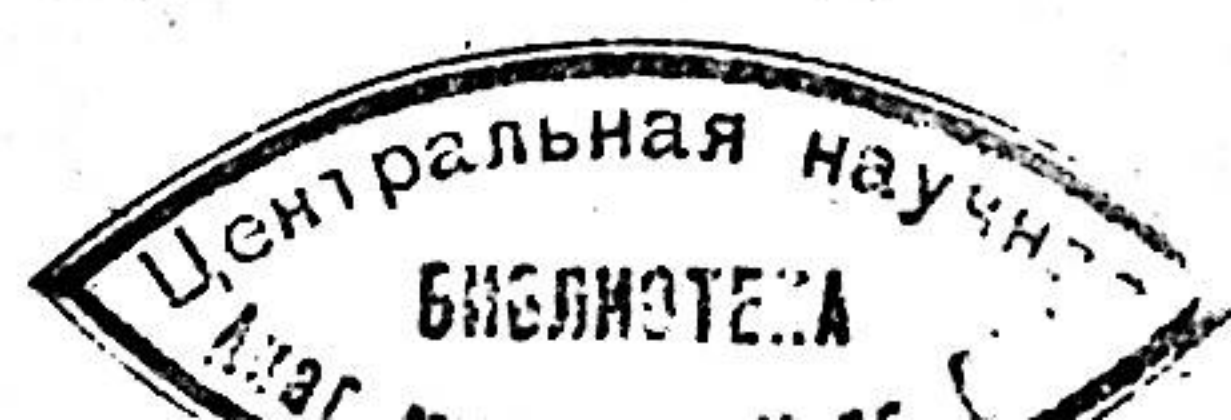
(05.484. Строительные материалы, детали и изделия)

Автореферат

диссертации на соискание ученой степени
кандидата технических наук

Тбилиси

1971



Работа выполнена в Институте строительной механики и сейсмостойкости (ИСМиС) Академии наук Грузинской ССР

Научный руководитель - доктор техн. наук З.Н. ЦИЛОСАНИ

Официальные оппоненты:

Заслуженный деятель науки и техники Груз. ССР,
доктор техн. наук, проф. П.П. ЦУЛУКИДЗЕ

Кандидат техн. наук, доцент Ш.В. БУРЧУЛАДЗЕ

Ведущее предприятие - Тбилисский государственный научно-исследовательский институт строительных материалов Министерства промышленности строительных материалов ССР (ТбилГОСНИИСМ)

Автореферат разослан " " 1971 г.

Защита состоится " " 1971 г. в " " часов
на заседании Совета по присуждению ученых степеней ГрузНИИГС -
г. Тбилиси-16, ул. Ленина 70.

УЧЕНЫЙ СЕКРЕТАРЬ СОВЕТА
КАНД. ТЕХН. НАУК

Б.Н. БАСТАТОУИ

ЧУ-11482 а
ГОС. ПУБЛИЧНАЯ
БИБЛИОТЕКА
Ленинград
03.1971.вж
9124

Создание бетона с желаемым сочетанием физических, прочностных и деформативных свойств является одной из важнейших задач науки о бетоне. Для решения этой задачи, с одной стороны, необходимо знать какова связь между особенностями строения структуры бетона и его свойствами (прочность, деформативность, стойкость, проницаемость и др.), а с другой, знать, как влияют те или иные факторы на процесс формирования структуры.

При большом разнообразии факторов, влияющих, как на формирование структуры бетона, так и на характер связи последней со свойствами бетона и невозможностью их полного охвата в пределах одной работы, была поставлена цель исследовать только влияние некоторых технологических факторов на особенности формирования пористой структуры цементного камня. Так, исследовано влияние на строение пористой структуры цементного камня минералогического состава цементного клинкера, водоцементного отношения, различных добавок, режима приготовления и хранения образцов, их возраста. Кроме того, в работе затрагивается и вопрос взаимосвязи между характером строения пористой структуры цементного камня и его свойствами-прочностью и проницаемостью.

Для выявления относительной роли отдельных факторов в суммарном эффекте влияния различных параметров на формирование пористой структуры цементного камня и вскрытия имеющейся взаимосвязи между изучаемыми явлениями были применены методы математической статистики. Предложены эмпирические зависимости, позволяющие расчетным путем определять параметры, характеризующие пористую структуру цементного камня - общую пористость и распределение пор по размерам.

Работа проводилась в Отделе физико-химической механики бетона Института строительной механики и сейсмостойкости АН Грузинской ССР в 1960-1969 годах.

Диссертация состоит из введения, трех глав, выводов, содержит 129 страниц, в том числе 12 таблиц, 20 рисунков, список использованной литературы из 140 наименований; к диссертации имеется приложение на 117 страницах (графики).

В первой главе описаны существующие методы исследования пористой структуры дисперсных тел и дается обзор работ по исследованию пористой структуры цементного камня.

С 1951 года в стране было начато координированное исследование пористой структуры дисперсных тел. Развитие сорбционной техники стимулировало широкое развертывание работ по исследованию адсорбентов и разработке методов измерения внутренних параметров пористого тела.

Благодаря исследованиям А.С.Беркмана, Г.И.Горчакова, Б.В.Дегрина, М.М.Дубинина, М.И.Думанского, И.И.Жукова, Ф.М.Иванова, Б.Э.Лейриха, А.В.Лыкова, И.Т.Мельниковой, О.П.Мчедлова-Петросяна, Т.Г.Плаченова, П.А.Ребиндера, Е.К.Сегаловой, В.Л.Солицевой, В.В.Стольникова, П.П.Ступаченко, Ю.В.Чеховского, Л.Е.Шейкина и других, а также зарубежных исследователей Бауэра, Ероунярда, Вашборна, Джекоона, Пауэрса, Ренделя и других на сегодняшний день имеются, как разработанные для капиллярных пористых материалов методы по измерению пористости, так и конкретные данные по ним. Так как, многие строительные материалы по характеру структуры принадлежат к капиллярно-пористым телам, то естественно, что методы, используемые в сорбционной технике при исследовании адсорбентов, можно применять и для цемента, раствора, бетона, кирпича и ряда других строительных материалов.

В основном, для изучения пористой структуры дисперсных тел и

адсорбентов применяются следующие методы: рентгеновский и электромикроскопический, сорбционный, определение удельной поверхности (Б.Э.Т.) и ртутной порометрии.

В настоящее время, по большинству вопросов влияния различных параметров на структурную пористость цементного камня нет общего мнения, нет единой и общепринятой методики и в проведении эксперимента для всестороннего изучения структурной пористости цементного камня и бетона.

В реферируемой работе структура цементного камня изучалась с использованием методов капиллярной кондонации и ртутной порометрии. Выбор этих методов был обусловлен тем, что они в большей степени отвечали поставленной в исследовании задачи.

Во второй главе дается характеристика использованных материалов, описание техники проведенных экспериментальных работ, а также анализ полученных результатов.

Для установления влияния минералогического состава цемента на пористую структуру цементного камня были использованы пять различных по минералогическому составу цементов: два портландцемента Каопского завода, Арагатский портландцемент, Таузский белый портландцемент и Руставский шлакопортландцемент. Это позволило охватить следующие диапазоны изменения процентного содержания основных клинкерных минералов: C_3S -33-60%, C_2S -12-34%, C_3A -7-15% и C_4AF -2-27%.

Изученные варианты водоцементного отношения: вода, необходимая для затворения теста нормальной густоты, (соответственно, для каждого цемента), 0.35; 0.40; 0.45; 0.50, т.е. охватывался весь используемый на практике диапазон. Образцы испытывались 3, 7, 28 и 90 суток.

Часть образцов готовилась из цементной пасты, которая подвергалась виброактивации при помощи электродинамического вибратора. Частота виброактивации изменялась от 50 до 2400 герц.

Добавки применялись следующие: сульфитно-олигротовая барда (ССБ) $-0.1 + 0.2\%$; 20% молотого кварцевого песка; 0,2% ССБ и 20% молотого кварцевого песка совместно; кальций хлористый -2% и 0,2% ССБ совместно, кальций хлористый 2% и мылонрафт 0,01% и 0,02%. Дозировку добавок производили от веса цемента.

Режим твердения образцов: нормальные условия, твердение в среде CO_2 , пропарка и автоклавирование при 8 ати.

В намеченные сроки все образцы испытывались на сжатие (по три образца-близнец на точку); определялись удельные и объемные веса, процент гидратации по карбонизации и по связанной воде, процент карбонизации, гигроскопическая и связанная вода. Параллельно отбирались пробы для изучения пористой структуры цементного камня.

Пористая структура цементного камня изучалась: общая пористость - пикнометрическим методом, распределение пор и их объемы - методом капиллярной конденсации и ртутной порометрии, а для установления характера связи между строением пористой структуры цементного камня и его проницаемостью были изучены коэффициент паропроницаемости и условная сквозная пористость.

Метод капиллярной конденсации дал возможность изучить первоначальную пористую структуру цементного камня. Так как образцы цементного камня после формирования и твердения во влажной среде всегда имеют высокую влажность, приближающуюся к полному насыщению, было решено строить кривые десорбции, что достигалось размещением образцов в вакууматоры с определенным значением давления в отношении паров над серной кислотой соответствующей концентрации. Для

построения изотермы десорбции задавались двенадцатью значениями давления паров (12 точек).

Этим методом было изучено 50 разных вариантов цементного камня.

Все изотермы десорбции, построенные по наблюдениям над образцами цементного камня оказались однотипными. Значительно отличались лишь кривые десорбции виброактивированного цементного камня и с добавкой хлористого кальция.

На основе кривых десорбции были построены кривые распределения пор по размерам. Метод капиллярной конденсации выявляет лишь микропоры, а именно капилляры размерами 10^{-5} см и менее и не дает возможности определить размеры и характер распределения по объему макрокапилляров. Но тем не менее, этим методом можно иметь достаточно полное представление о пористости в целом. Так, например, в цементном камне на каспском портландцементе, изготовленном без вибрации и без добавок, объем микропор составлял 80-90% от общего объема пор и лишь 20-10% приходило на долю макрокапилляров. Несколько хуже обстоит дело при добавке хлористого кальция. Добавка хлористого кальция в цементном камне при равных водоцементных отношениях приводила к сокращению объема капилляров с радиусом менее 10^{-5} см до 75-65% по сравнению с 95% без добавки, также увеличивался объем пор радиусом 10^{-7} см от 10-20% до 20-35%.

Заметное влияние на характер распределения пор по размерам оказывала величина добавки ССБ и мылонрафта.

Согласно ходу кривых распределений пор по размерам, построенных в процентах от общего объема образца, объем пор и капилляров в зависимости от изменений количества добавляемых ССБ и мылонрафта, а также при повышении частоты виброактивации, менялись лишь в диапазоне пор более 10^{-5} , 10^{-7} см.

Поры меньших размеров почти во всех случаях занимали одинаковые объемы независимо от количества ССБ, мильонафта и частоты вибраактивации.

Изотермы десорбции и кривые распределения пор в образцах из вибраактивированного цементного камня показали, что с повышением частоты вибраактивации (частота вибраактивации равнялась 50, 100, 150, 200, 300, 600, 1200 и 2400 герца) возрастала доля мельчайших пор, что указывало на то, что структура становится более молекулярной. В то же самое время с ростом частоты вибраактивации возрастала общая пористость, что было следствием ухудшения удобоукладываемости теста, возникающего в результате понижения его пластичности.

Другим методом, примененным для изучения характера пористой структуры цементного камня в зависимости от влияния различных технологических факторов был метод ртутной порометрии. Структура исследовалась на поромерах низкого и высокого давления.

Поромер низкого давления был собран по чертежам, присланным из ЛенпроектНИИСИ-а. В процессе освоения в поромер были внесены дополнения и изменения, улучшившие и облегчившие работу. Так, например, к вакуумной системе был подключен диффузионный насос, что позволило более быстро создавать необходимое разрежение. Для измерения создавшегося в системе вакуума вместо манометра Маклеода была применена вакуумная лампа и серийно выпускаемый электронный вакуумметр ВИТ-ІА. Это упростило как процедуру сборки прибора, так и проведение самих опытов. При помощи этого поромера замерялись поры в диапазоне от 16 до 1168 микрон.

Дальнейшее изучение пористой структуры велось на поромере высокого давления марки ПА-ЭМ системы Ленинградского ордена Трудового

Красного Знамени технологического института. В нем замерялись поры диаметром от 0,0056 до 15 микрон. Всего изучена структурная пористость в 332 образцах.

В результате исследования влияния различных факторов на строение пористой структуры цементного камня методом ртутной порометрии установлено, что увеличение водоцементного отношения увеличивает общую пористость цементного камня, однако, рост общей пористости у разных цементов неодинаков, кроме того, с возрастом при каспских цементах и араватском цементе разница между общей пористостью при разных В/Ц сокращается, тогда как для таузского и руставского цементов это не наблюдается. При росте В/Ц отношении растет микропористость, что особенно сильно оказывается в диапазоне пор размерами от 242 до 1168 микрон, а также возрастает и доля мелких пор от 0,030 до 0,0056 микрон за счет сокращения пор размерами от 4 до 0,030 мк.

Изменение В/Ц оказывает на объемных и удельных весах цементного камня, а именно, с ростом В/Ц отношений удельные и объемные весы – уменьшились. Количество химической и гигроскопической влаги увеличивалось пропорционально водоцементному отношению.

Исследование влияния вида цемента на отложение пористой структуры цементного камня показало, что наибольшая плотность – у цементного камня на каспском портландцементе, наименьшее у цементного камня на араватском портландцементе.

Цементный камень на каспской (П) цементе характеризуется равномерным распределением пор по всем исследуемому диапазону (от 10^6 до 10 мк) пор. При каспской (I) наблюдается преобладание объема пор, размерами $10^3 + 10$ мк. Наоборот, в цементном камне на араватском и таузском портландцементах и руставском шлакопортландцементе преобла-

дает более крупная пористость $10^6 + 10^4 \text{ мк}$. Блакопортландцемент характеризуется, кроме того, практическим отсутствием пор $10^4 + 10^3 \text{ мк}$.

Добавка ССБ в количестве 0,2% от веса вяжущего приводило к пре-вращению макро и переходных пор в макропоры. Кроме того, добавка 0,2% ССБ, при применении каспийского портландцемента приводила к по-вышению общей пористости в начале твердения и к ее сокращению к возрасту 90 суток. При совмещении добавки ССБ с обработкой и вредою CO_2 это явление не наблюдалось. Примерно, аналогичная картина на-блюдалась и при применении таузского цемента.

Добавка мылонита в количестве 0,01 и 0,02% приводило к измене-нию пористости цементного камня - происходил рост микропор в диапо-зоне от 0,15 до 0,0056 мк.

Добавка хлористого кальция изменила общую пористость цементного камня на каспийском портландцементе в большую сторону. Так, например, если без добавки общая пористость в зависимости от водоцементного отношения колебалась в пределах 25-35%, то при добавке хлористого кальция она возрасла до 40-55%; проходит это за счет образования более мелкокристаллической структуры цементного камня и ухудшения удобоукладываемости теста. Так, если без добавки поры размерами от 6 мк до 0,005 мк составляли 10-20% общего объема пор то при хло-ристом кальции их объем возрастал до 20-35%.

Пористая структура цементного камня улучшалась совместной добав-лением 2% хлористого кальция и 0,2% УГ, при этом, сокращалась об-щая пористость (%) и увеличивалось количество микропор (10%).

Тонкомолотый кварцевый песок в количестве 20% от веса цемента уменьшил общую пористость цементного камня на каспийском портландце-менте и увеличил количество макро- и переходных пор на 15%. А добав-.

ка 20% тонкомолотого кварцевого песка в сочетании с 0,2% ССБ изва-ляла интенсивное уплотнение структуры цементного камня. Итак, наибо-льшая плотная структура получается у цементного камня с добавкой ССБ 0,2% и тонкомолотого кварцевого песка 20%.

Исследование влияния вибропактивации на структурную пористость цементного камня на каспийском портландцементе позволило выявить следующие закономерности: при затрачивании одинаковой работы на формо-вание образцов, прочность в зависимости от частоты вибропактивации цементного камня имеет четко выраженный максимум, указывающий на су-ществование оптимальной частоты вибропактивации в пределах 200-400 герц, выше этой частоты прочность образцов постепенно падает, при-ближаясь к прочности образцов из навибропактивированного цементного камня. Соответственно, изменяется общий вес и величина общей по-ристости цементного камня.

Так, с повышением частоты вибропактивации общий вес первона-чально возрастает, а общая пористость падает - получается более плот-ная структура вибропактивированного цементного камня, чем невибропактивированного. С превышением определенной частоты (200-400 герц), которая совпадает с оптимальной по прочности, общий вес цемент-ного камня, выведенного до постоянного веса при 105°C падает, а об-щая пористость возрастает - происходит "разрыхление" структуры.

Анализ интегральных кривых распределения пор по размарам, в диапазонах от 10 до 10^3 и от 10^4 до 10^6 мк, обнаруживает, что до ча-соты колебания 300 герц вибропактивация приводит к резкому сокра-щению суммарного объема пор размерами $10 + 10^3$ мк и увеличению объема пор размерами $10^4 + 10^6$ мк. При частотах превышающих 300 герц, объем пор размерами $10 + 10^3$ мк меняется незначительно; наблюдается тенден-ция к сокращению объема. То же самое можно сказать относительно объем-

ма пор размерами $10^4 + 10^6$ мк до частоты 1200 герц. Однако, дальнейшее повышение частоты приводит к заметному росту объема этих пор. Так, в цементном камне, подвергавшемся вибровактивации при частоте 2400 герц, объем пор размерами $10^4 + 10^6$ мк был вдвое больше, чем при частоте 1200 герц. Если проследить за характером изменения суммарного объема пор обоих диапазонов, то заметно, что вначале с ростом частоты виброровения, используемой в целях вибровактивации цементной пасты, объем пор сокращается, но при повышении частоты с 1200 герц до 2400 герц пористость вновь возрастает.

Приведенные экспериментальные данные качественно полностью совпадают с данными, полученными при исследовании структуры по методу капиллярной конденсации, поэтому можно сказать, что в определенном диапазоне частот вибровактивация способствовала образованию плотной структуры цементного камня, что снято с ограничением более мелко-кристаллической структуры и плотной их упаковкой. Однако, при чрезмерном дроблении кристалликов и следовательно, росте удельной поверхности, удобоукладываемость цементного теста при заданной количестве воды затрудняется, разко сокращается. В результате сильно затрудняется формование образцов, общая пористость которых возрастает. Причем рост пористости происходит за счет увеличения объема крупных пор размерами 10^6 мк и более, которые оказывали наибольшее влияние на прочность структуры.

Для выявления влияния режима и времени хранения на структурную пористость цементного камня использовались образцы твердевшие в обычных температурно-влажностных условиях; в среде углекислого газа, которая способствовала усиленной карбонизации цементного камня, а также образцы подвергавшиеся пропарке и автоклавной обработке.

Обработка и хранение образцов в среде углекислого газа при всех видах цемента, как с добавками, так и без добавок, в рассматриваемые сроки приводили к повышению прочностных показателей на сжатие; с повышением водоцементного отношения скорость карбонизации влажных образцов понижалась, что объясняется закупоркой пор капиллярной водой, присутствовавшей в образцах, и тем больше, чем больше было водоцементное отношение. Повысилась скорость гидратации цементного камня; как I, так и II портландцементы каспокского завода показали большую скорость гидратации и карбонизации в 7, 28 и 90 дневных возрастах по сравнению с цементами Аракатского, Таузского и Руставского заводов. С другой стороны, цемент Руставского завода гидратируется быстрее карбонизуется быстрее цементов Таузского и Аракатского заводов.

Выдерживание образцов в среде углекислого газа позволяет получить более уплотненную пористую структуру цементного камня, и тем более, чем большим был возраст. Все образцы, твердевшие в среде CO_2 , имели на 12+13% меньшую общую пористость, чем образцы, твердевшие в нормальных условиях, при этом возрастало количество микропор.

При пропаривании и автоклавировании цементного камня общая пористость возрастала на 5-10%; переходная макропористость - на 6%, в объем микропор и мельчайших пор - на 16-18%.

Составление данных о характере пористости в образцах разных возрастов показало, что по мере выдерживания камня происходит сокращение доли крупных пор и увеличение относительного объема мелких пор. Причем, наиболее интенсивно это наблюдается в начальные сроки (от 3 до 7 суток). Общая пористость, определяемая пикнометрическим спосо-
бом, также меняется с возрастом в сторону ее постепенного уменьшения.

При добавке ССВ кривые распределения пор в образцах 3-х и 7-ми дневного возраста практически полностью совпадали для всех условий

хранения, что вызвано свойством ССБ, которое в начальные сроки приводит к торможению процессов гидратации и твердения вяжущего.

Для установления характера связи между строением пористой структуры цементного камня и его проницаемостью, были изучены коэффициент паропроницаемости и условная "сквозная пористость" по электропроводности образцов, изготовленных из выше перечисленных цементов с учетом влияния всех ранее изученных факторов.

Паропроницаемость изучалась по принципу измерения, продифундированной через образец влаги при разных парциальных давлениях по двум противоположным сторонам образца.

Образцы-цилиндры $\varnothing = 8 \text{ см}$ и $H = 3 \text{ см}$ наклеенные на блоки емкостью 500 см^3 , в которой была залита концентрированная серная кислота, помещались в среду с определенной температурой (20°C) и относительной влажностью (50 и 90%) окружающей среды. Количество диффундирующегося водяного пара через образец, поглощенное концентрированной серной кислотой, контролировалось взвешиванием комплекса: образец-банка-серная кислота. Установление постоянства в весе, свидетельствовало о прекращении прохождения паров газы через образец. Наступало это быстрее при 90% относительной влажности внешней среды, чем при 50% влажности среды. Объясняется это тем, что при повышенной влажности среды значительная доля паропроницаемых капилляров быстрее заполнялась водой.

Для измерения объема сквозных пор был использован метод, предложенный Ф.И.Ивановым и Е.А.Акимовой, который основан на линейной зависимости между величиной электросопротивления и толщиной образца, а также между величиной водопоглощения и сквозной пористостью.

Всего было изучено общими методами 332 варианта.

Выполненным исследованием установлено, что с понижением водопогло-

ментного отношения, наряду с увеличением общей пористости (от 10 до 20%) растет сквозная пористость и следовательно, коэффициент паропроницаемости. Это увеличение наблюдается в той же степени, что и увеличение объема воды, внедренной при затворении. Так например, коэффициент паропроницаемости образцов из кевлакового портландцемента при $B/C = 0,24$ на 28-ые сутки равнялся $7,5 \cdot 10^{-6} \text{ г/см}^2$, а при $B/C = 0,45 - 12,1 \cdot 10^{-6} \text{ г/см}^2$. Та же картина выявилась и при измерении сквозной пористости.

Как I, так и II портландцемент кевлакового завода дает наиболее плотную структуру цементного камня и содержит относительно меньшее количество сквозных пор, и у них маленький коэффициент паропроницаемости при всех изученных сроках и B/C отношениях. С другой стороны, цемент таузского завода дает более плотную структуру, чем цемент араратского завода.

Добавка ССБ в количестве 0,2% и миллиарда $0,01 + 0,02$ от веса вяжущего приводит к увеличению сквозной пористости и коэффициента паропроницаемости. Добавка хлористого кальция 2% от веса цемента, включая собой сокращение сквозной пористости и уменьшение коэффициента паропроницаемости по сравнению с цементным камнем без добавки. Благоприятно влияла и добавка хлористого кальция в сочетании с ССБ.

Сквозная пористость и коэффициент паропроницаемости сокращались при росте частоты вибрации (50-300 герц), что объясняется и образованием мелкокристаллической структуры и их плотной упаковкой.

Обработка и хранение образцов в среде углекислого газа, как с добавками, так и без добавок при всех видах цемента и при всех изученных сроках хранения приводят к уплотнению структуры. По мере высыревания цементного камня происходит зарастание пор новообразова-

нием, что уменьшает количество оквазовых пор и коэффициент паропроницаемости.

В третьей главе выводится аналитическая зависимость между параметрами пористой структуры цементного камня и различными технологическими факторами.

Большой объем экспериментальных данных в виде цифрового материала и графиков, неизбежный разброс отдельных показаний, трудоемкость лабораторных работ, связанных с исследованием характера строения пористости цементного камня, обусловили необходимость проведения статистической обработки экспериментальных данных. Том более, что при наличии ряда действующих факторов, строгая оценка роли каждого из них или их совокупности без применения методов математической статистики не представляется возможным. Часть факторов (В/П, время твердения, частота вибрации) подается количественной оценке; другая часть (условия созревания, вид добавки), оценивалась качественно, а вид цемента оценивался как количественно, так и качественно.

Изученными параметрами являлись: общая пористость цементного камня (Π) и характер распределения пор по размерам; последние представлялись в виде таблиц и построенных по ним интегральных кривых. Ввиду сложности очертания последних они аппроксимировались ломаными линиями (рис. I) и задача сводилась к определению связи между параметрами аппроксимирующих линий (U_1 , U_2 , U_3 , t_{g^*} , d_1 и d_2) и изученными технологическими факторами.

Цемент данного вида C_i характеризовался содержанием основных клинкерных минералов $C_B S$, $C_2 S$, $C_B A$ и $C_4 AF$, обозначенных соответственно x_3 , x_4 , x_5 и x_6 .

Для алгебраического выражения связи между параметрами аппрокси-

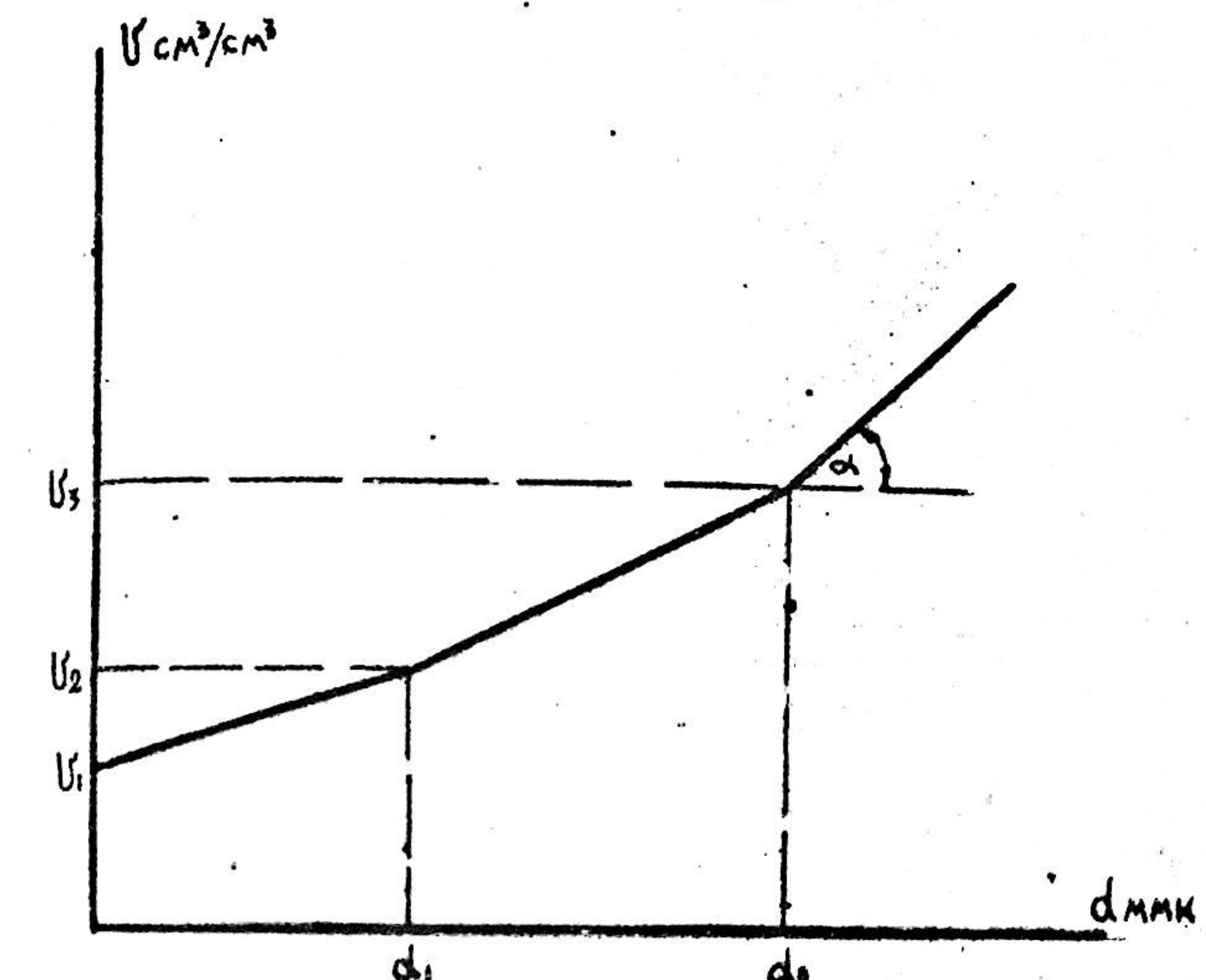


Рис. I Аппроксимирующая ломанная линия.

Таблица 1

№ п/п	Наименование факторов	Обозна- чение	Варианты факторов
1.	Водоцементное отношение	x_1	0,24; 0,35; 0,45;
2.	Возраст твердения в днях	x_2	3; 7; 28; 90.
3.	Условия хранения	A_1	Нормальное твердение
4.	Вид добавки	A_2	В среде CO_2
5.	Вид цемента	B_1	ССБ
		B_2	Молотый кварцевый песок
		C_1	Каспийский портландцемент I
		C_2	Каспийский портландцемент II
		C_3	Аракатский - " -
		C_4	Таузский белый - " -
		C_5	Руставский шлакопортланд- цемент

Таблица 2

Значение свободного члена и коэффициента в уравнении

$$Y = a_0 + a_1 x_1 + a_2 x_2 \quad / \text{К.Ш.у.} /$$

№ п/п	Параметры	a_0	a_1	a_2
1.	d_1	38,01	18,13	- 0,05
2.	d_1	-0,006	0,18	- 0,0003
3.	d_1	-7,7	53,5	- 0,02
4.	d_1	0,09	0,41	- 0,0003
5.	d_1	0,029	0,22	- 0,0005
6.	d_1	0,02	0,03	- 0,0002
7.	tga	0,94	1,68	0,003

Таблица 3

№ пп	Вид экспер- имент ний	a_0	a_1	a_2	a_3	a_4	a_5	a_6
1	П	46,58	26,83	-0,074	0,189	0,043	-0,969	-0,353
2	П	-1,114	0,111	-0,0003	0,0078	-0,008	0,065	0,015
3	П	-7986,9	201,27	-0,1709	55,287	-52,19	447,01	III,33
4	П	2,479	0,16	-0,0006	-0,0137	0,0169	-0,137	-0,0339
5	П	3,21	0,719	-0,0008	-0,0215	-0,019	-0,17	-0,04
6	П	1,2245	-5,705	-0,0068	-0,0247	-0,122	0,738	-0,001
7	П	0,611	-0,533	-0,001	-0,0089	0,0062	0,016	0,023
8	П	-9,493	23,79	-0,0243	0,324	-0,499	2,538	0,815
9	П	-0,025	0,0025	0,0002	0,0004	0,001	-0,0001	0,0004
10	П	-8544,4	96,33	-0,128	58,22	-60,69	490,63	124,21
11	П	-4,5	-0,1145	0,0005	0,038	-0,024	0,236	0,058
12	П	-0,047	-0,041	0,0007	0,0016	-0,0002	0,0127	0,009
13	П	25,45	-1,56	0,0022	0,175	0,156	-1,333	-0,33
14	П	8,395	-6,075	0,007	-0,134	-0,039	0,42	-0,022

непрерывной ломанной линии и влияющих на них технологическими факторами была выбрана линейная зависимость $Y = a_0 + \sum a_i x_i$

Расчеты были проведены для каждого вида цемента, оценивалось также отклонение основных параметров: в таблице 2 приведены значения коэффициента a_i для кальциевого шлакового цемента.

Аналогичные расчеты были также проведены, когда в качестве варианта фактора был принят не цемент того или иного завода, а отдельные клинкерные минералы. Значения соответствующих коэффициентов даны в таблице 3.

При выдерживании образцов в нормальных условиях отклонение экспериментальных и подсчитанных с использованием коэффициентов по таблице 2 значений параметров не превышает 10%, а при выдерживании в среде CO_2 - 15%.

Работы по математической обработке экспериментальных данных с целью установления расчетных зависимостей были проведены с использованием БЭСМ-4.

На основании проведенных исследований по изучению пористой структуры цементного камня можно сделать следующие основные общие выводы:

1. Методом капиллярной конденсации и ртутной порометрии исследовано влияние некоторых технологических факторов: минералогического состава цемента, водоцементного отношения, возраста, вида добавок, режима формования и выдерживания на характер строения пористой структуры цементного камня. Показано как влияют указанные факторы на общую пористость и на характер распределения пор по размерам. Построены интегральные кривые распределения пор различных размеров в цементном камне.

С целью облегчения и сокращения сроков проведения экспериментов в процессе работы были внесены некоторые изменения в конструкции

поромера низкого давления, благоприятно оказавшиеся и на результатах измерения.

2. На примере вибропрессованного цементного теста сделана попытка увязки прочностных показателей цементного камня с особенностями строения его пористой структуры.

3. Изучено влияние различных факторов (минералогического состава цементного клинкера, водоцементного отношения, возраста, добавок, режима приготовления, режима и времени хранения) на формирование сквозных пор и показателя (коэффициента) паропроницаемости цементного камня.

4. В результате обработки экспериментальных данных методом наименьших квадратов предложены эмпирические зависимости, позволяющие расчетным путем определять параметры, характеризующие пористую структуру цементного камня - общую пористость, распределение пор по размерам (интегральные кривые).

Эмпирические зависимости охватывают достаточно широкий диапазон изменения факторов, влияющих на строение пористой структуры цементного камня.

5. Результаты исследования могут быть использованы при выборе цемента, добавки и технологии изготовления для получения бетона желаемой пористой структуры. Они представляют интерес и с целью накопления справочных данных (СД) по характеристикам пористой структуры цементного камня. Надобность таких данных очевидна, если учесть существенную роль характера пористой структуры в формировании основных технических свойств бетона - прочности, деформативности, проницаемости, стойкости и др.

Основное содержание диссертации опубликовано

в следующих работах:

1. Цилосани З.Н., Чиковани Х.С. О водоудерживающей способности затвердевшего раствора и бетона. Труды Института строительного дела АН ГССР, т.УШ, 1960.
2. Цилосани З.Н., Чиковани Х.С. Влияние добавок на водоудерживающую способность цементного камня. Труды Института строительной механики и сейсмостойкости АН ГССР, т.Х, 1963.
3. Цилосани З.Н., Чиковани Х.С. К исследованию дисперсной структуры цементного камня. Коллоидный журнал, т.25, № 1, Москва.
4. Чиковани Х.С., Гелашвили Л.Л. Исследование процесса карбонизации в цементном камне и растворе. Бетон и железобетон. Сборник трудов, II, ИСМИС АН ГССР, Изд-во "Мецниереба", 1968.
5. Цилосани З.Н., Чиковани Х.С., Гелашвили Л.Л., Абуева З.А. Влияние виброактивации на пористую структуру и прочность цементного камня. "Бетон и железобетон". Сборник трудов, III, ИСМИС АН ГССР, Изд-во "Мецниереба", 1969.
6. Чиковани Х.С. Связь между проницаемостью цементного камня и его пористой структурой. Доклады Объединенной сессии научно-исследовательских институтов Закавказских республик, Ереван, 1968.
7. Буденский Р.И., Кешелава Б.Ф., Ломидзе Н.М., Чиковани Х.С. О взаимозависимости прочности и структурной пористости силикатного бетона. В сборнике: Материалы научно-технической конференции по структуре и свойствам новых видов минеральных вяжущих и материалов на их основе. Владивосток, 1968.
8. Чиковани Х.С. Исследование пористой структуры бетона (на грузинском языке), журнал "Мецниереба да техника" ("Наука и Техника"), 2, 1971.

Основное содержание работы доложено на:

1. Объединенной сессии научно-исследовательских Институтов Закавказских республик по строительству (Тбилиси, 1966).
2. Объединенной сессии научно-исследовательских Институтов Закавказских Республик по строительству (Ереван, октябрь, 1969).

ნუარაზე სპირიტუსის ასური ჩატური

დამატების წარ შემოვით ფინანსების და მისი ძალი-
კიბრის და ცარის და გამოცემა

0033388 1991

33 05888

გრანა 250

გამომცემლა "გეგროვება", იბილი, 60, კუთების 19

საქ. ხსნ გეგროვებას აკადემიის სტამბა, იბილი, 60, კუთების 19